

PET/CT 诊断多中心型 Castleman 病累及双肺组织 1 例

¹⁸F-FDG PET/CT Diagnosis for Multicentric Castleman's Disease with Both Lungs Involved: One Case Report // KANG Lei, FAN Yan, WANG Rong-fu, et al.

康磊, 范岩, 王荣福, 马超, 付占立, 张建华, 张旭初
(北京大学第一医院, 北京 100034)

主题词: Castleman 病; 肺; PET/CT; 病例报告
中图分类号: R730.44 文献标识码: B
文章编号: 1671-170X(2015)01-0078-02
doi: 10.11735/j.issn.1671-170X.2015.01.B018

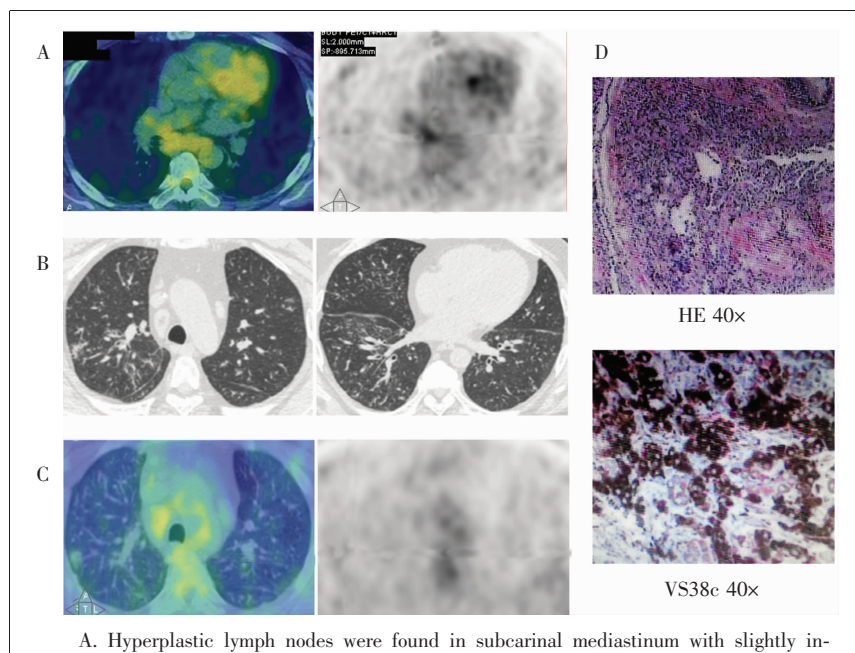
1 临床资料

患者, 男性, 41岁, 全身多发淋巴结肿大2个月。乏力, 无明显发热, 无腹泻、恶心、呕吐、胸闷、心慌等不适。体格检查: 体温36.5°C, 双侧颌下、左侧腋窝触及肿大淋巴结。实验室检查: 血常规示白细胞9.99×10⁹/L、血红蛋白115g/L、中性粒细胞80.6%; 血沉(ESR)138mm/h; AFP、CEA、PSA、CA125、CA199、NSE等肿瘤标志物均正常; 结核T-spot阴性。超声及腹部CT检查显示肝脏及脾脏增大, 双侧髂血管旁及双侧腹股沟多发肿大淋巴结。遂行腋窝淋巴结活检, 见滤泡间大量浆细胞浸润, 浆细胞呈多克隆性增生, 符合多中心Castleman病。进一步行¹⁸F-FDG PET/CT评价全身情况, 显示: ①双侧颈部、腮腺区、锁骨上区、腋窝、纵隔、腹膜后主动脉旁、髂血管旁、腹股沟多发肿大淋巴结, 部分融合, FDG摄取轻度增高, 最大标准化摄取值(SUV_{max})1.2~3.9(Figure 1A); ②双肺内弥漫性小叶间隔增厚, 支气管血管束增多、紊乱, 双肺散在分布多发不规则斑片影、磨玻璃密度及软组织密度结节灶(Figure 1B), 部分病灶FDG摄取轻度增高, SUV_{max} 2.1~2.6; 较大结节位于右肺上叶, 大约7mm×10mm, 呈软组织密度, 边缘多发毛刺(Figure 1C)。

基金项目: 国家自然科学基金(81101065); 国家重大科学仪器设备开发专项(2011YQ03011409); 高等学校博士学科点新教师专项科研基金(20110001120043)

通讯作者: 王荣福, 主任, 教授, 博士生导师, 博士; 北京大学第一医院核医学科, 北京市西城区西什库大街8号(100034); E-mail: rongfu_wang@163.com

收稿日期: 2013-12-14; 修回日期: 2014-01-31



A. Hyperplastic lymph nodes were found in subcarinal mediastinum with slightly increased glucose uptake. B. HRCT showed diffuse thickening of interlobular septum and bronchovascular bundles, as well as multiple irregular nodules and linear opacities nodules varying in size. C. ¹⁸F-FDG PET/CT showed that the glucose uptake of a nodule in superior lobe of right lung increased slightly. D. Right lung lobe biopsy revealed extensive infiltration of plasma cells (VS38c++++) and a few small lymphocytes (CD20+) in the alveolar cavities and peribronchial region (HE ×40 and VS38c stain ×40).

Figure 1 Lungs were involved with multicentric Castleman's disease

上考虑多中心Castleman病累及双肺组织可能大。支气管肺泡灌洗液中未找到肺孢子菌包囊、细菌、真菌及抗酸杆菌及肿瘤细胞。最终, 肺透壁活检显示细支气管及肺组织内异常浆细胞浸润, 伴轻链限制性表达, 免疫组化示VS38c(+++), κ(+++), λ(+), 确诊多中心浆细胞型Castleman病累及肺组织(Figure 1D)。

2 讨论

Castleman病(Castleman's disease, CD), 亦称巨淋巴结增生症或血管滤泡性淋巴结增生, 是一种少见的原因不明的淋巴组织异常增生性疾病。病理学上可分为透明血管型、浆细

胞型及混合型,其中透明血管型占90%。镜下透明血管型淋巴结滤泡血管呈玻璃样变,滤泡生发中心萎缩;浆细胞型可见滤泡间质中心大量浆细胞,滤泡生发中心增生。临幊上根据病灶范围,CD可分为局灶型和多中心型^[1]。局灶型CD多为透明血管型,病变仅累及局部淋巴结,表现为非对称、缓慢生长的纵隔或肺门肿物。多中心型CD(multicentric castleman's disease,MCD)多为浆细胞型,除可累及多区域的淋巴结,亦可累及结外的多种器官,表现为发热、乏力、盗汗、多克隆高球蛋白血症、血沉增快、IL-6增高、肝脾肿大、周围神经病变及POEMS综合症等症状,部分患者最终可发展为淋巴瘤^[2]。由于CD的发病率低且临幊表现复杂多变,缺乏特异性,诊断常较困难,确诊需要病理学诊断。

影像学检查对诊断CD有一定的提示作用。CT可以显示病变的位置、形态、数量及结构异常,增强CT可显示透明血管型CD病灶具有显著强化,而浆细胞型CD多呈轻—中度强化。MRI检查显示病灶在T1WI相呈等信号,T2WI呈均匀性高信号,透明血管型病灶内可见扭曲的小血管流空相^[3]。FDG PET/CT作为一种全身显像,其优势在于能够发现全身范围的病灶,同时提供解剖结构和代谢功能的两种信息。对于CD患者,FDG PET/CT显示全身范围的肿大淋巴结,而且病灶的FDG摄取轻度增高,病灶体积增大与摄取程度无正相关性,具备一定的特征,此外,对于CD的疗效评价亦是PET/CT的应用价值^[4]。

MCD可以累及淋巴结外器官,双肺组织受累较罕见。有文献报道,MCD累及双肺在CT的图像可表现为肺门淋巴结肿大和淋巴管间质性肺炎,此外还表现为小叶核心结节、支气管血管束增粗及小叶间隔增厚^[5]。随着病程进展,肺内MCD可发展为多发大小不一的结节和肿块,大者直径可达5cm,形成不规则软组织肿块^[6]。但是,国内外尚未见到关于MCD累及双肺组织的FDG PET/CT表现的相关报道。在本例MCD病例中,FDG PET/CT检查显示全身多发淋巴结肿大伴轻度代谢增高,肝脾增大,符合MCD的常见表现。双肺可见弥漫病变,CT显示双肺内弥漫性小叶间隔增粗及多发小结节,散在多发不规则斑片影、磨玻璃密度灶多沿支气管血管束分布,提示肺内淋巴管病变,这些表现与文献中所述一致^[7]。FDG PET显示双肺较大病灶的FDG摄取轻度增高,其摄取

程度与淋巴结病灶的摄取程度相近,提示双肺病变可能与淋巴结病变的性质相同^[8]。由此可见,虽然MCD的确诊依靠病理结果,但是该病的FDG摄取特点有助于诊断和鉴别诊断,此外,FDG PET/CT检查的重要价值在于可以评价全身病变的累及范围及疗效评价。

参考文献:

- [1] Peterson BA,Frizzera G.Multicentric Castleman's disease [J]. Semin Oncol,1993,20(6):636-647.
- [2] Fu ZL,Zhang XC,Fan Y,et al. Clinical value of 18F-FDG PET/CT in the management of Castleman's disease[J]. Chinese Journal of Nuclear Medicine and Molecular Imaging,2013,33(5):332-336. [付占立,张旭初,范岩,等. ¹⁸F-FDG PET/CT在Castleman病中的临床应用价值[J]. 中华核医学与分子影像杂志,2013,33(5):332-336.]
- [3] Wen L,Zhang D,Zhang ZG. CT characteristics of cervical Castleman's disease[J]. Clin Imaging,2005,29(2):141-143.
- [4] Fan Y,Wang RF,Zhang JH,et al. Multicentric Castleman's disease:a case report[J]. Journal of Chinese Oncology,2011,17(10):797-798. [范岩,王荣福,张建华,等. 多中心型Castleman病1例[J]. 肿瘤学杂志,2011,17(10):797-798.]
- [5] Higuchi T,Nakanishi T,Takada K,et al. A case of multicentric Castleman's disease having lung lesion successfully treated with humanized anti-interleukin-6 receptor antibody, tocilizumab[J]. J Korean Med Sci,2010,25(9):1364-1367.
- [6] Sun X,Han B. Multicentric Castleman's disease presenting with multiple nodes in lungs:a case report and literature review[J]. Int J Hematol,2008,88(3):278-282.
- [7] Johkoh T,Muller NL,Ichikado K,et al. Intrathoracic multicentric Castleman disease:CT findings in 12 patients[J]. Radiology,1998,209(2):477-481.
- [8] Lee ES,Paeng JC,Park CM,et al. Metabolic characteristics of Castleman disease on 18F-FDG PET in relation to clinical implication[J]. Clin Nucl Med,2013,38(5):339-342.